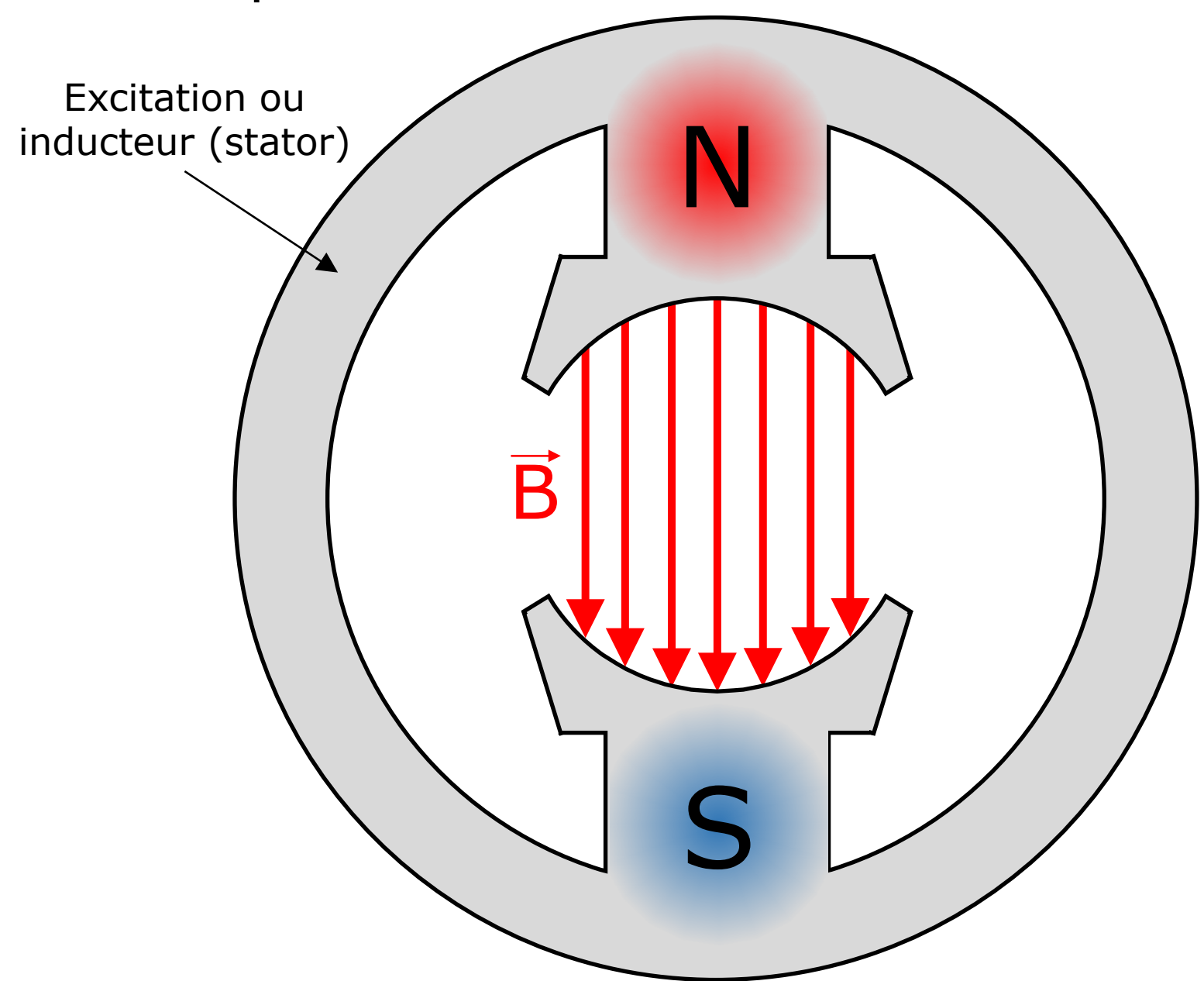
Conversion d'énergie

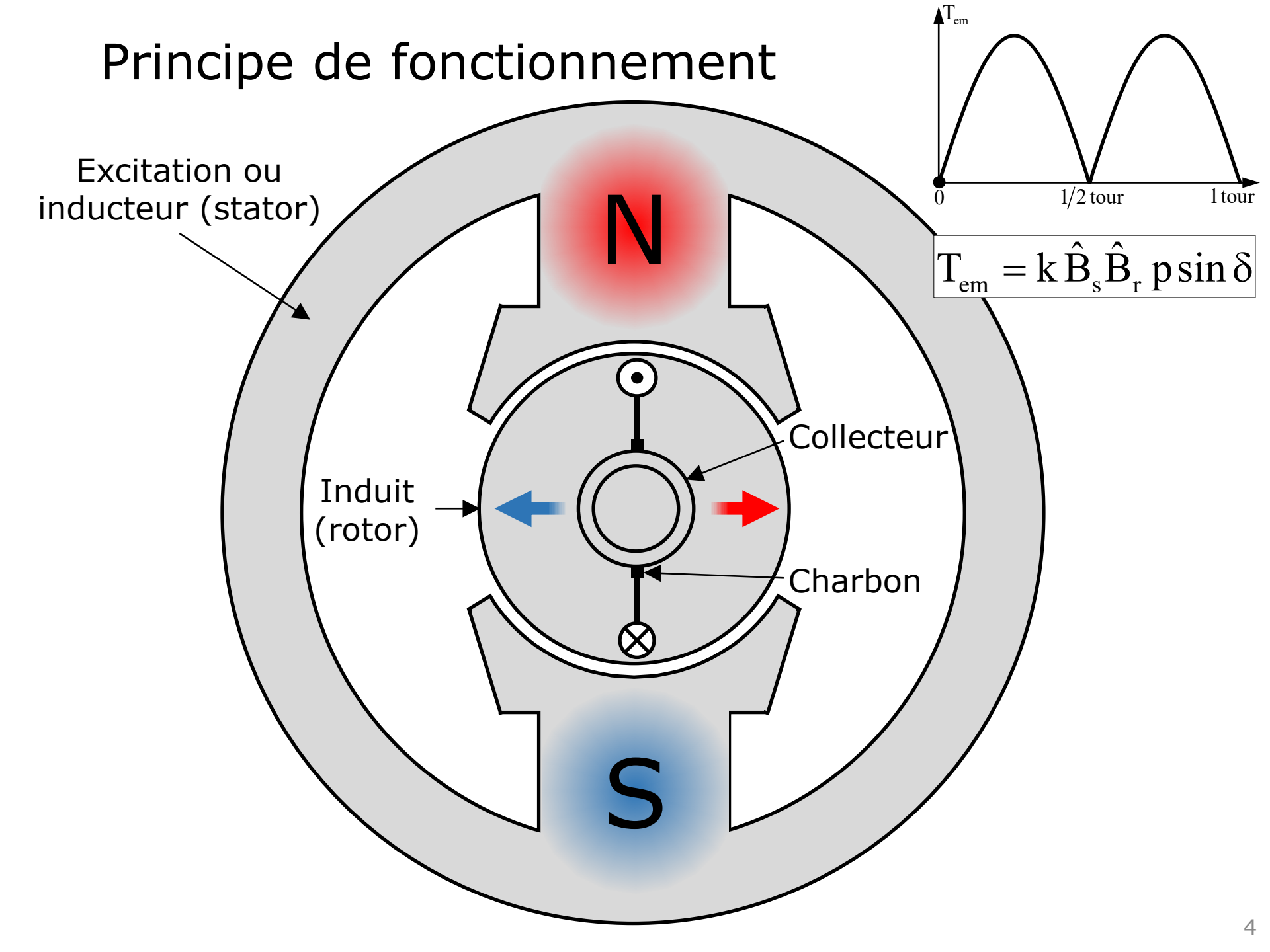
Moteur à courant continu à aimants permanents

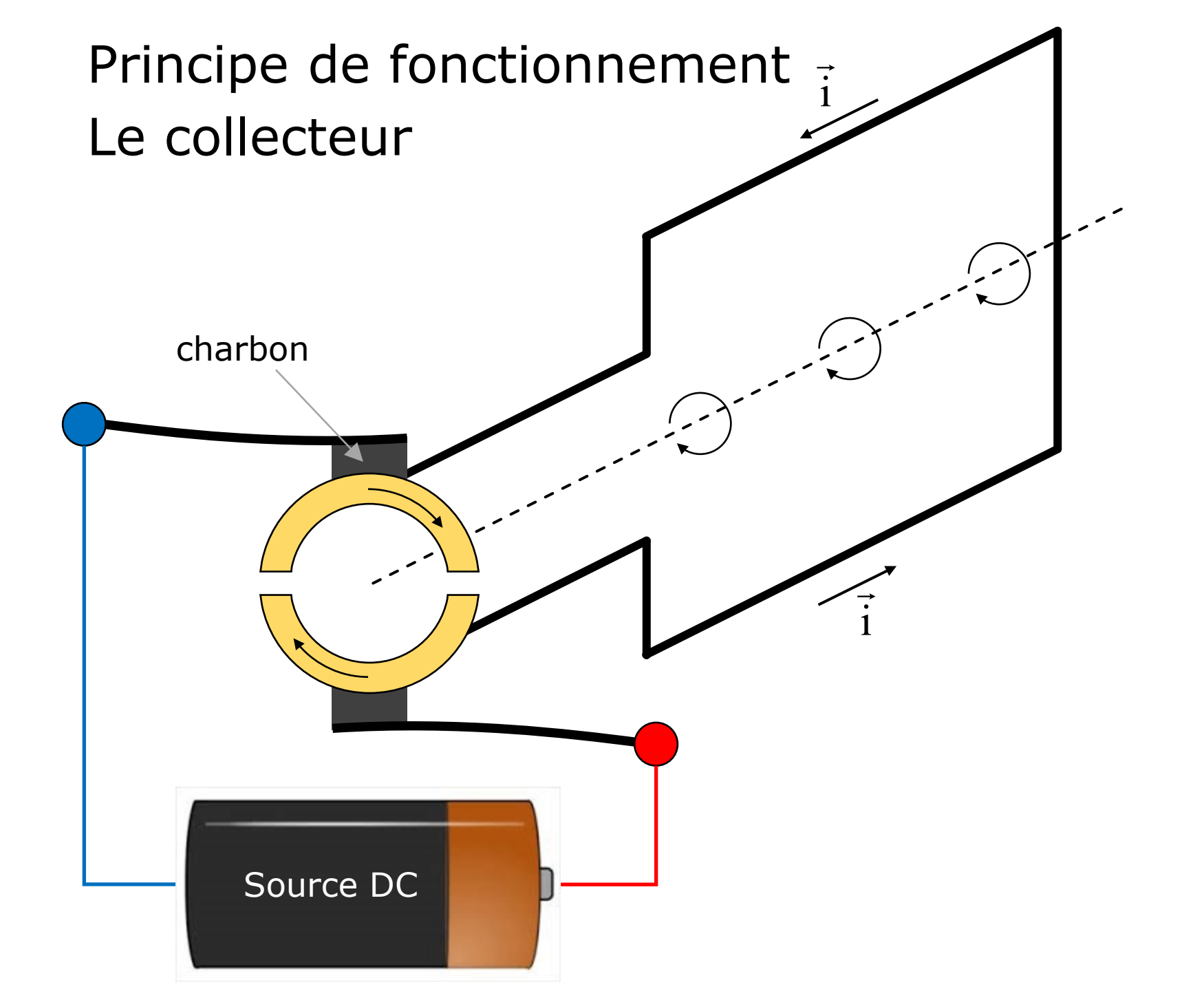
André Hodder

- Principe de fonctionnement
- Equation de tension, tension induite de mouvement et schéma équivalent
- Bilan de puissance et couple électromagnétique
- Moteur à courant continu à aimants permanents
- Démarrage

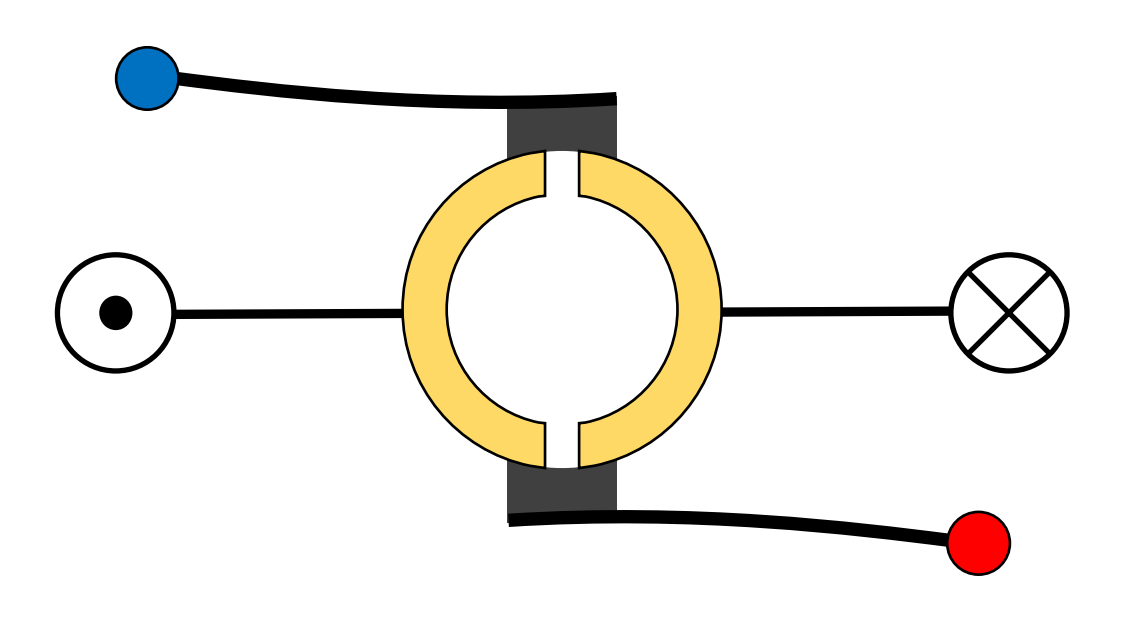
Principe de fonctionnement

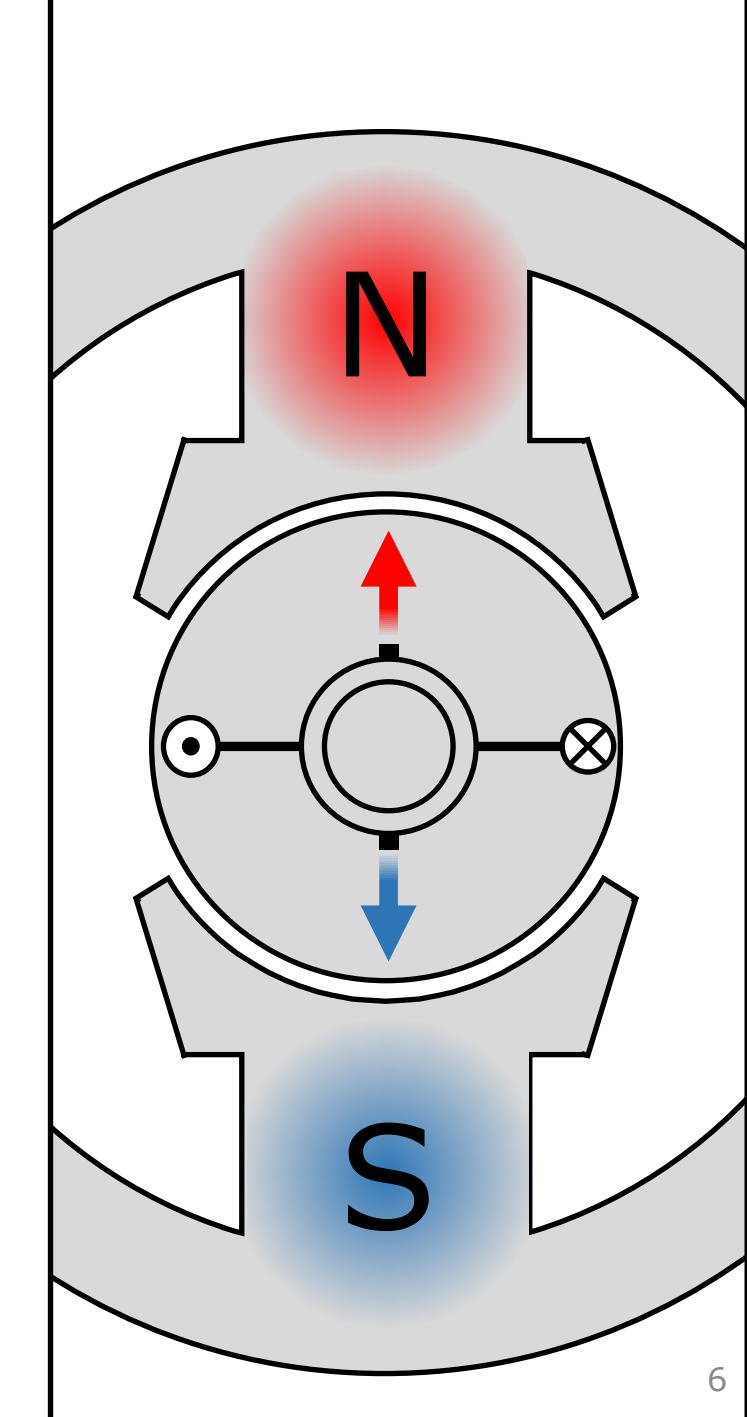


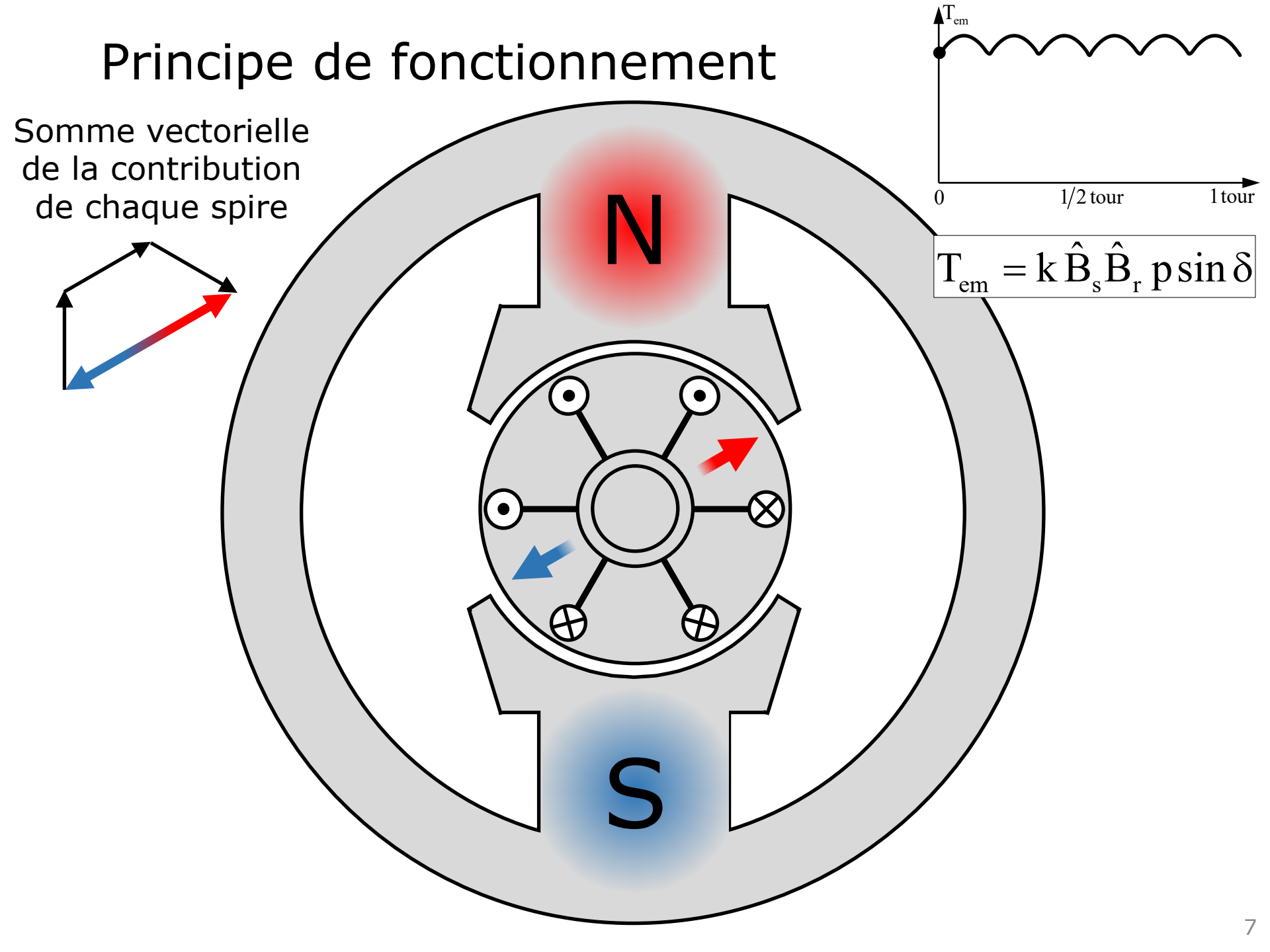




Principe de fonctionnement Le collecteur

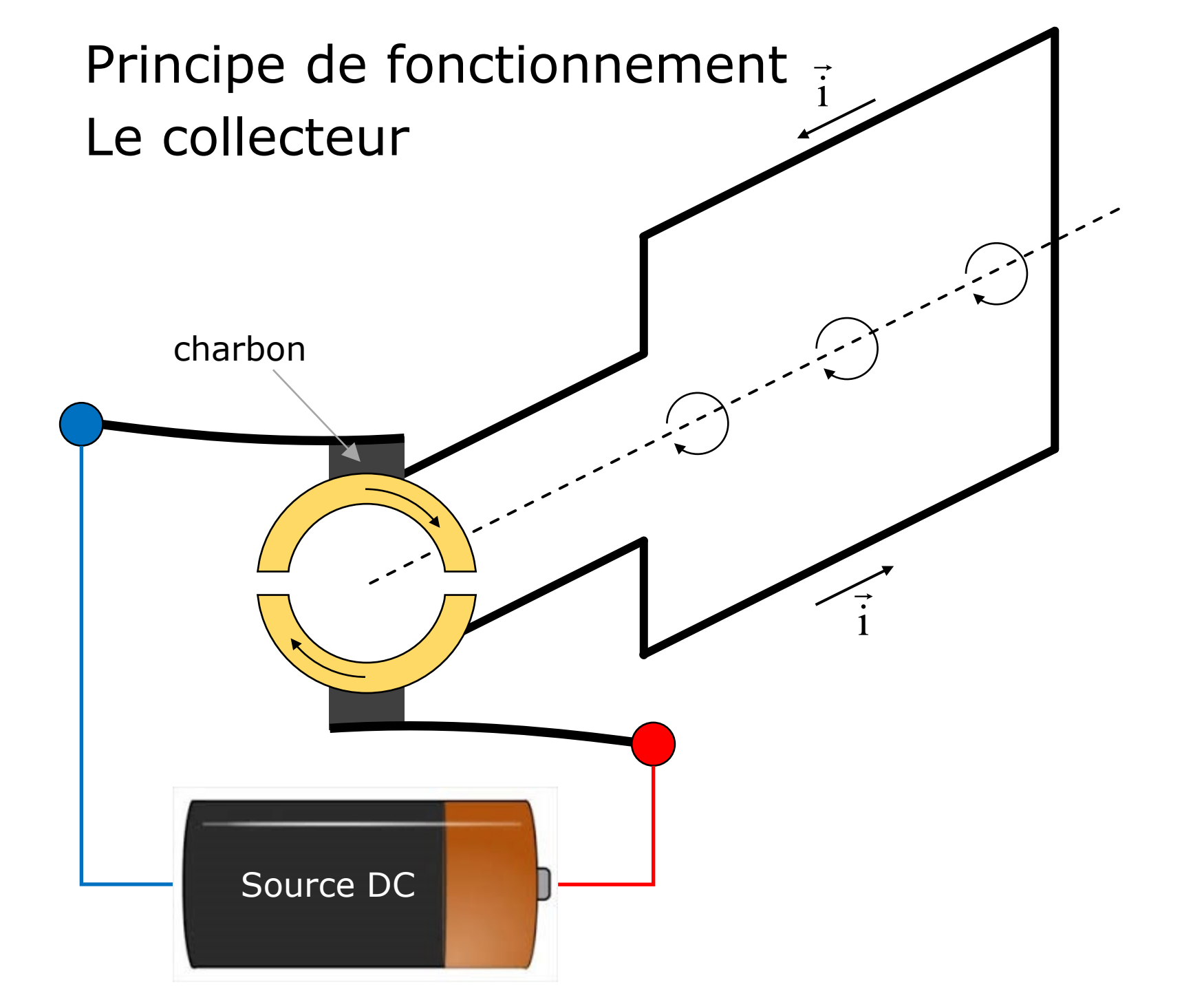




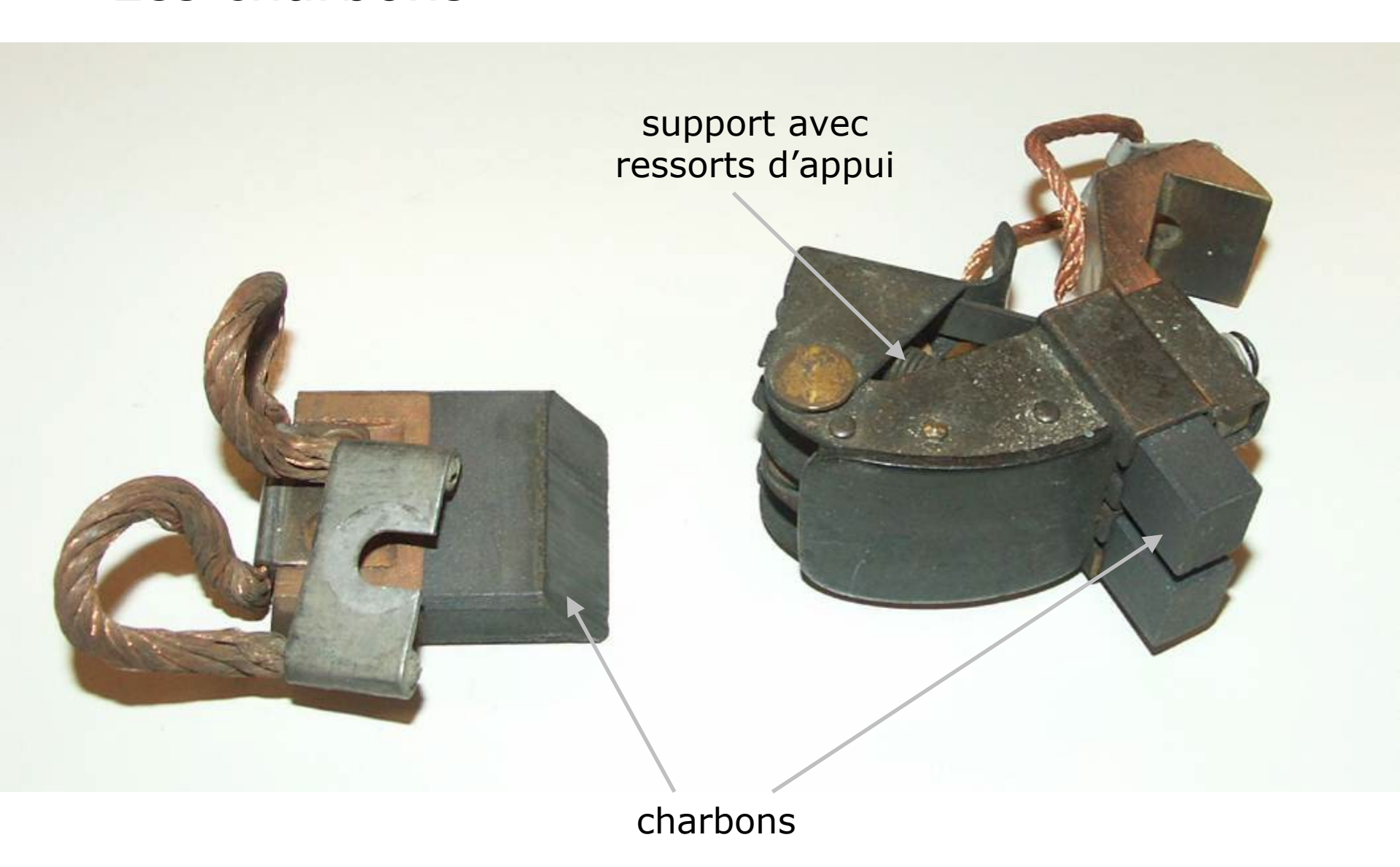


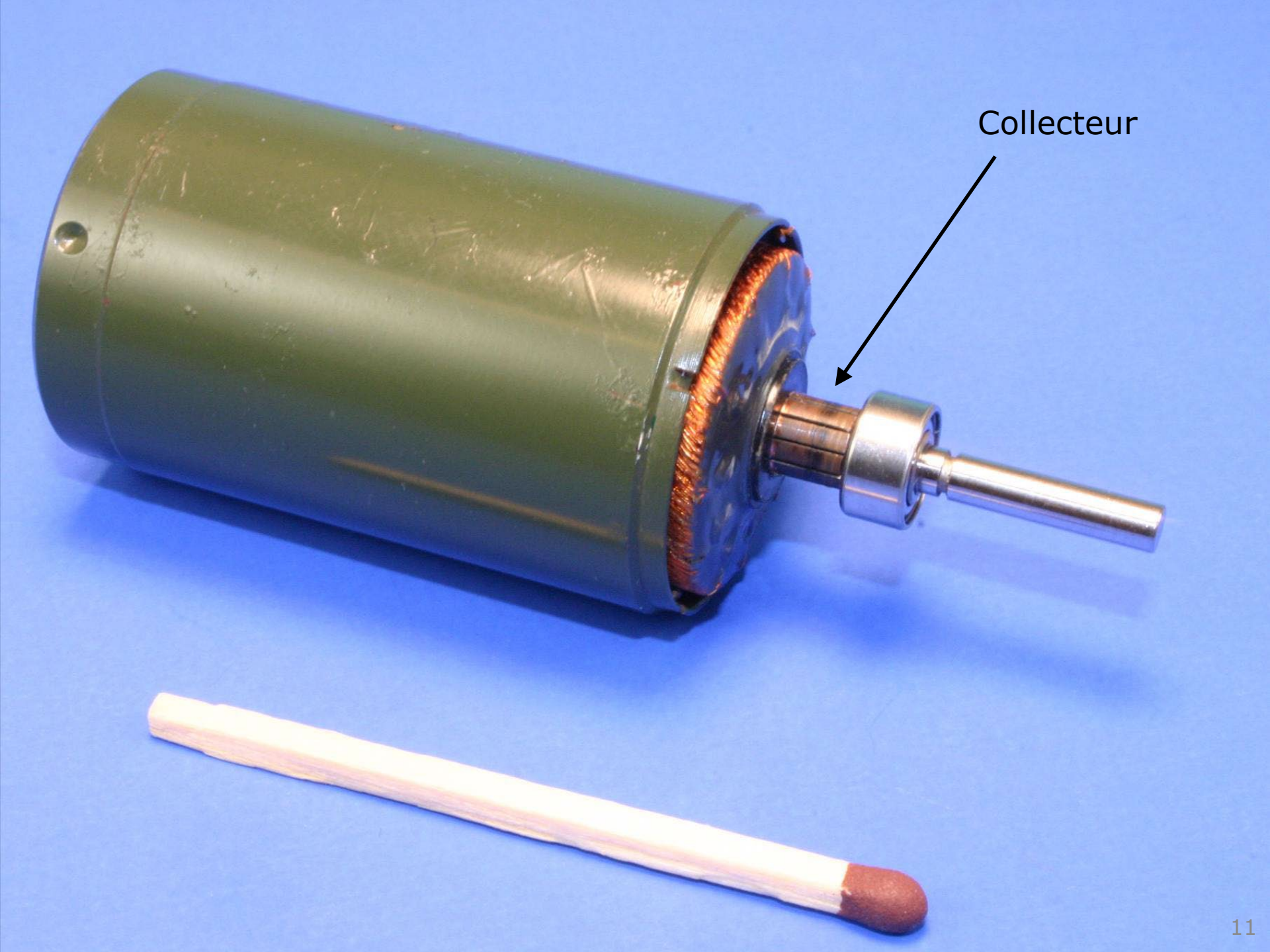
Le collecteur





Les charbons





- Principe de fonctionnement
- Equation de tension, tension induite de mouvement et schéma équivalent
- Bilan de puissance et couple électromagnétique
- Moteur à courant continu à aimants permanents
- Démarrage

Tension induite généralisée

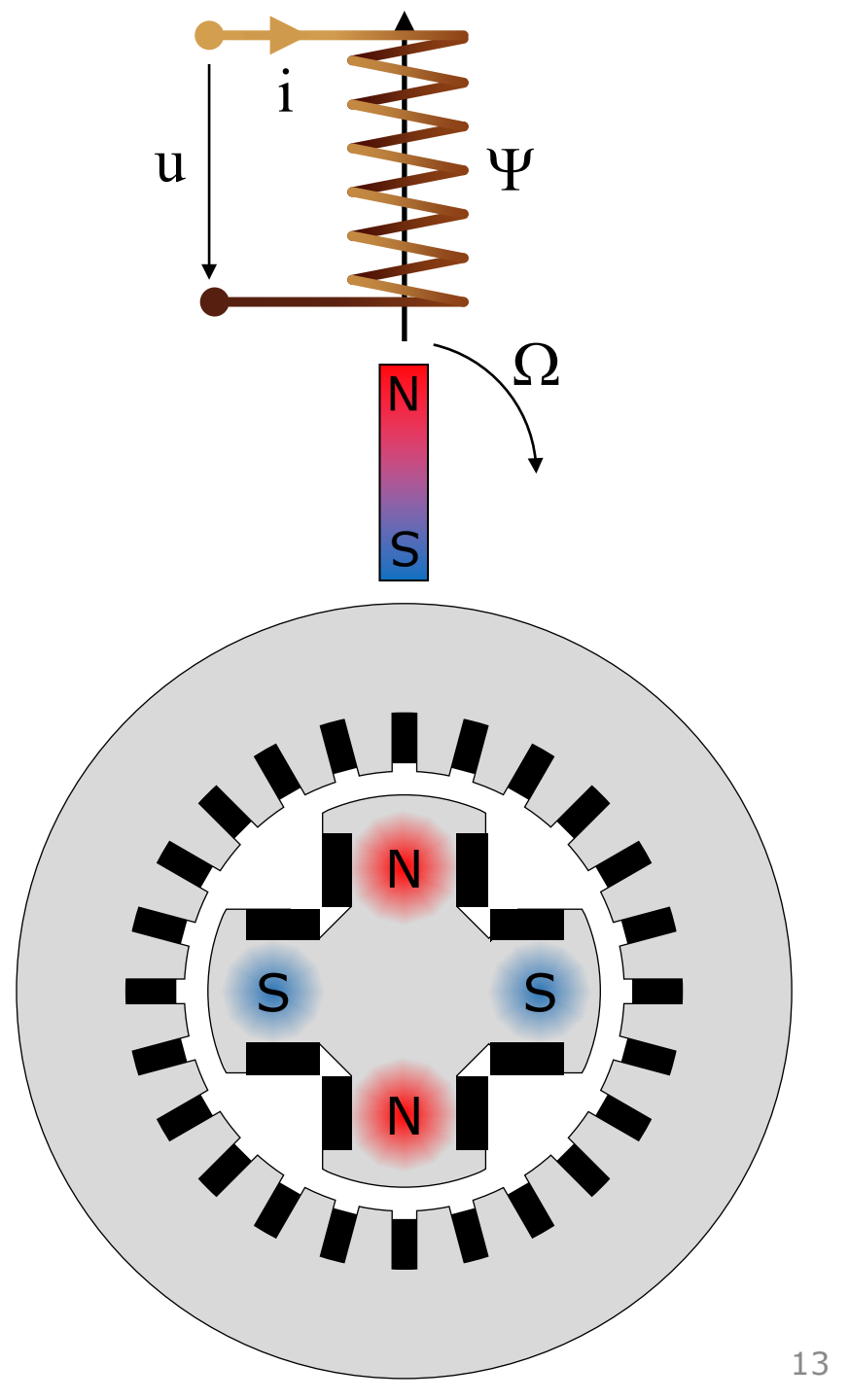
$$u = R i + \frac{d\Psi}{dt}$$

$$u = R i + L \frac{di}{dt} + k_{\Phi} \Omega$$

Tension induite de transformation

Tension induite de mouvement





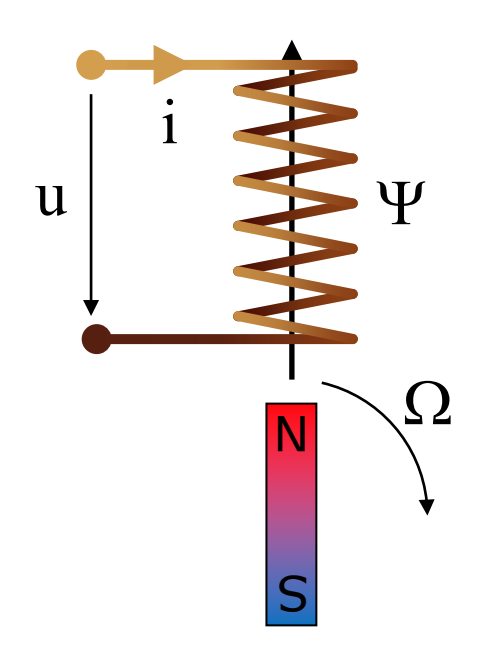
Tension induite généralisée

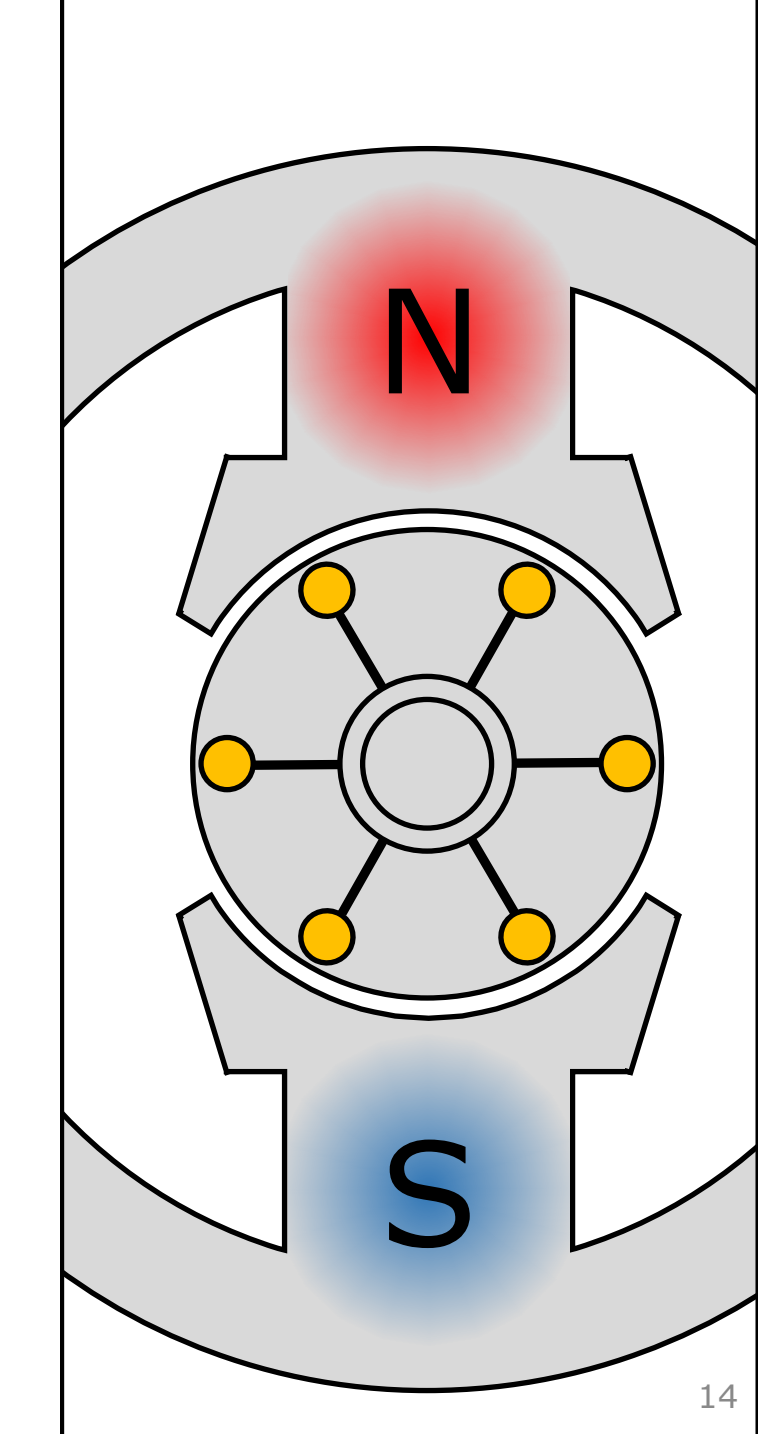
$$u = R i + \frac{d\Psi}{dt}$$

$$u = R i + L \frac{di}{dt} + k_{\Phi} \Omega$$

Tension induite de transformation

Tension induite de mouvement



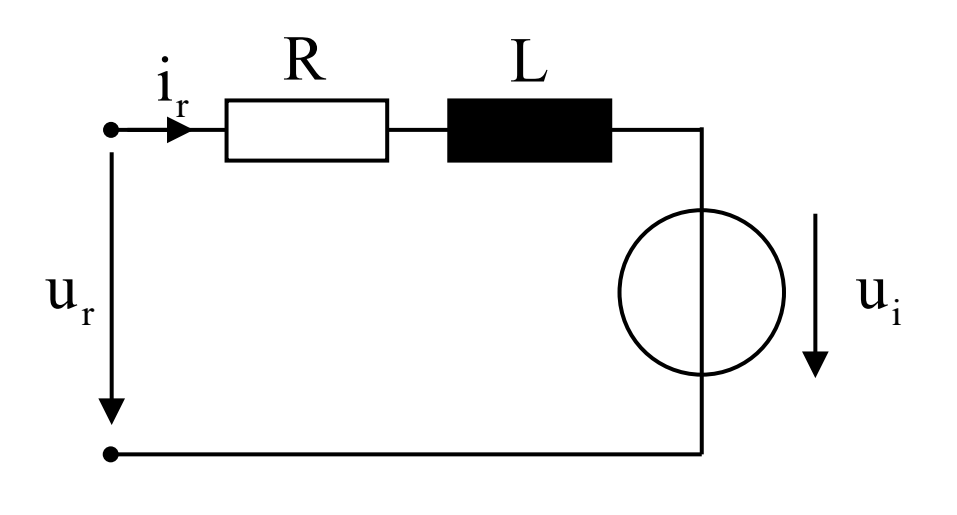


Equation de tension et schéma équivalent

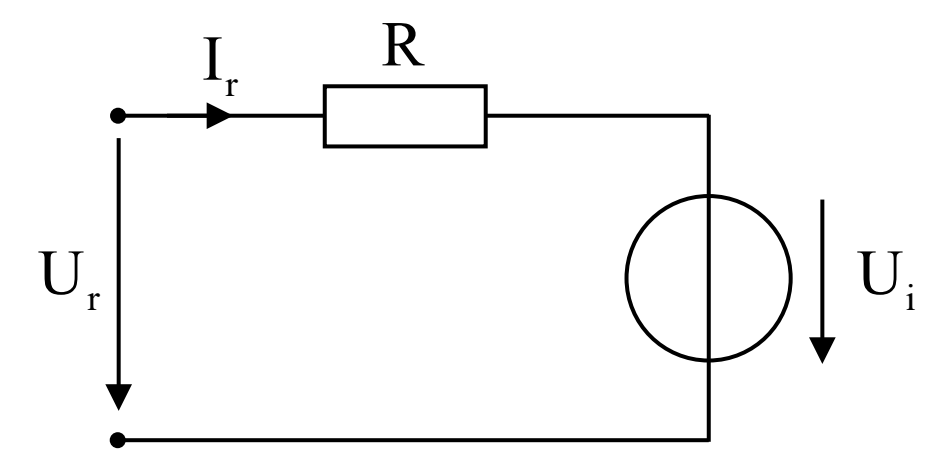
$$u_{r} = R_{r} i_{r} + \frac{d\Psi}{dt}$$

$$\frac{d\Psi}{dt} = L_{r} \frac{di_{r}}{dt} + u_{i}$$

$$u_{r} = R_{r} i_{r} + L_{r} \frac{di_{r}}{dt} + u_{i}$$



$$\frac{\text{régime}}{\text{permanent}} U_r = R_r I_r + U_i$$



Tension induite de mouvement

$$u_{_{i}} = \frac{d\Psi}{dt} = N \frac{d\Phi}{dt} \quad \text{avec} \quad \Phi = \sum \hat{\Phi}_{_{v}} \sin \omega_{_{v}} t$$

$$U_{i-} = \frac{1}{\sqrt{2}} N \omega \hat{\Phi} = \sqrt{2} \pi N f \hat{\Phi}$$

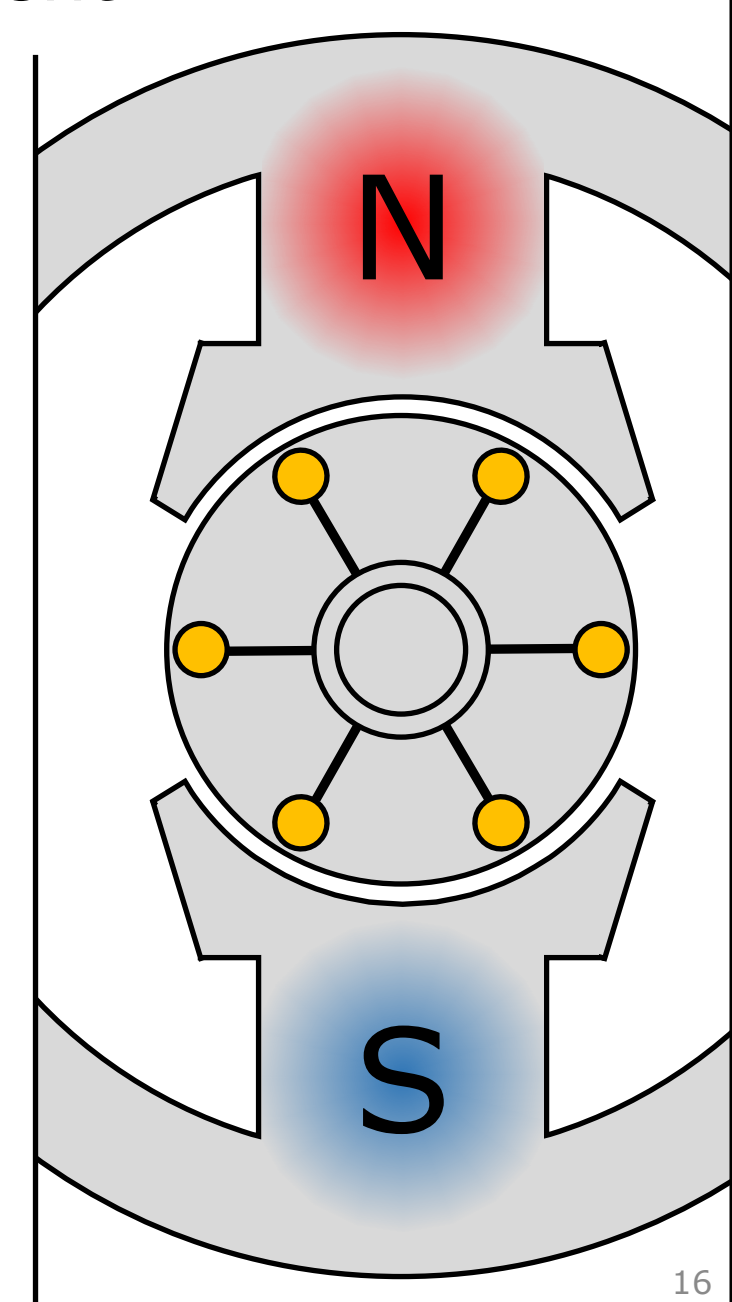
$$U_{_{i=}} = \sqrt{2} \; U_{_{i\sim}} = \sqrt{2} \; \sqrt{2} \pi \, N \; f \; \hat{\Phi} = 2 \pi \, N \; f \; \hat{\Phi}$$

$$\Omega = \frac{2\pi f}{p} \left[\text{rad/s} \right]$$

$$U_{i} = 2\pi N \frac{\Omega p}{2\pi} \hat{\Phi} = N \Omega p \hat{\Phi}$$

$$\longrightarrow U_i = k_{\Phi} \Omega$$

la tension induite est proportionnelle à la vitesse de rotation

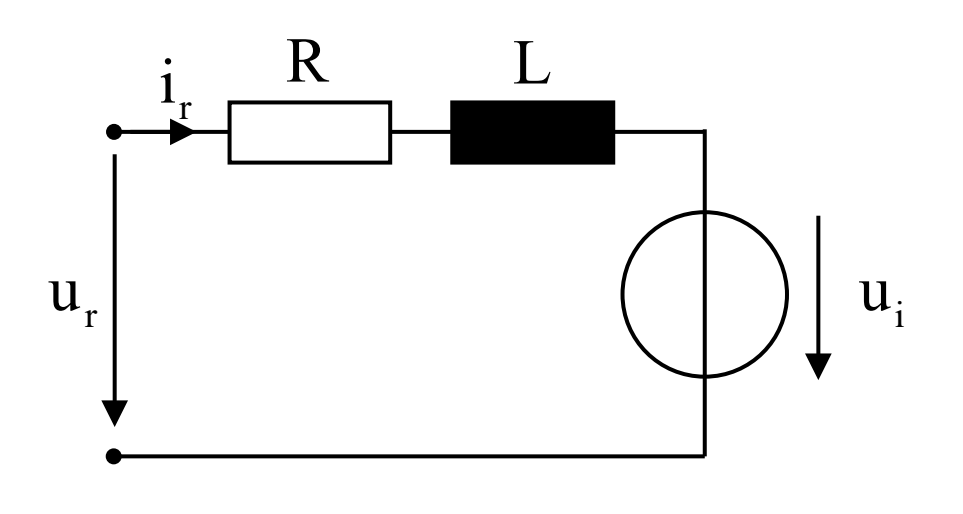


Equation de tension et schéma équivalent

$$u_{r} = R_{r} i_{r} + \frac{d\Psi}{dt}$$

$$\frac{d\Psi}{dt} = L_{r} \frac{di_{r}}{dt} + u_{i}$$

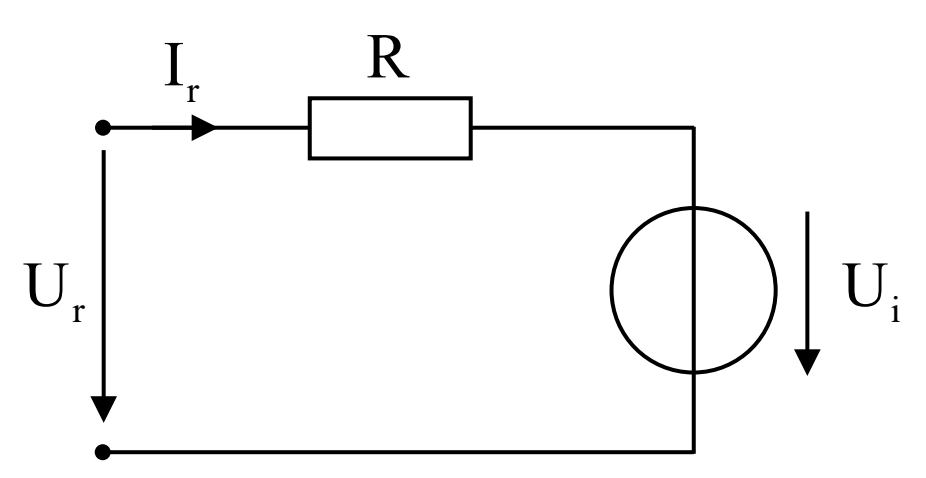
$$u_{r} = R_{r} i_{r} + L_{r} \frac{di_{r}}{dt} + u_{i}$$



$$\frac{\text{régime}}{\text{permanent}} U_r = R_r I_r + U_i$$

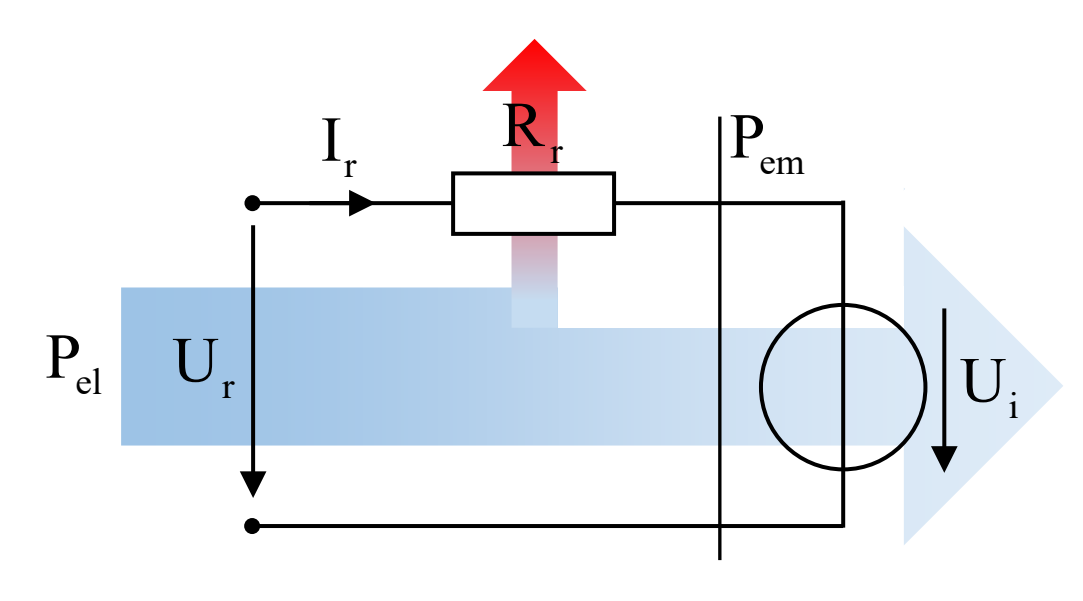
$$U_{i} = k_{\Phi} \Omega$$

$$U_{r} = R_{r} I_{r} + k_{\Phi} \Omega$$



- Principe de fonctionnement
- Equation de tension, tension induite de mouvement et schéma équivalent
- Bilan de puissance et couple électromagnétique
- Moteur à courant continu à aimants permanents
- Démarrage

Bilan de puissance



$$P_{el} = P_{j} + P_{em}$$

$$P_{el} = U_r I_r$$

$$P_{j} = R_{r} I_{r}^{2}$$

$$P_{em} = U_i I_r$$

Couple électromagnétique

$$P_{\text{mec}} = T_{\text{em}} \ \Omega = U_{i} \ I_{r}$$

$$T_{em} = \frac{P_{mec}}{\Omega} = \frac{U_i I_r}{\Omega} = \frac{k_{\Phi} \Omega I_r}{\Omega}$$

$$T_{em} = k_{\Phi}I_{r}$$

le couple est proportionnel au courant I_r

- Principe de fonctionnement
- Equation de tension, tension induite de mouvement et schéma équivalent
- Bilan de puissance et couple électromagnétique
- Moteur à courant continu à aimants permanents
- Démarrage

Moteur à aimants permanents

$$U = R I + U_i$$

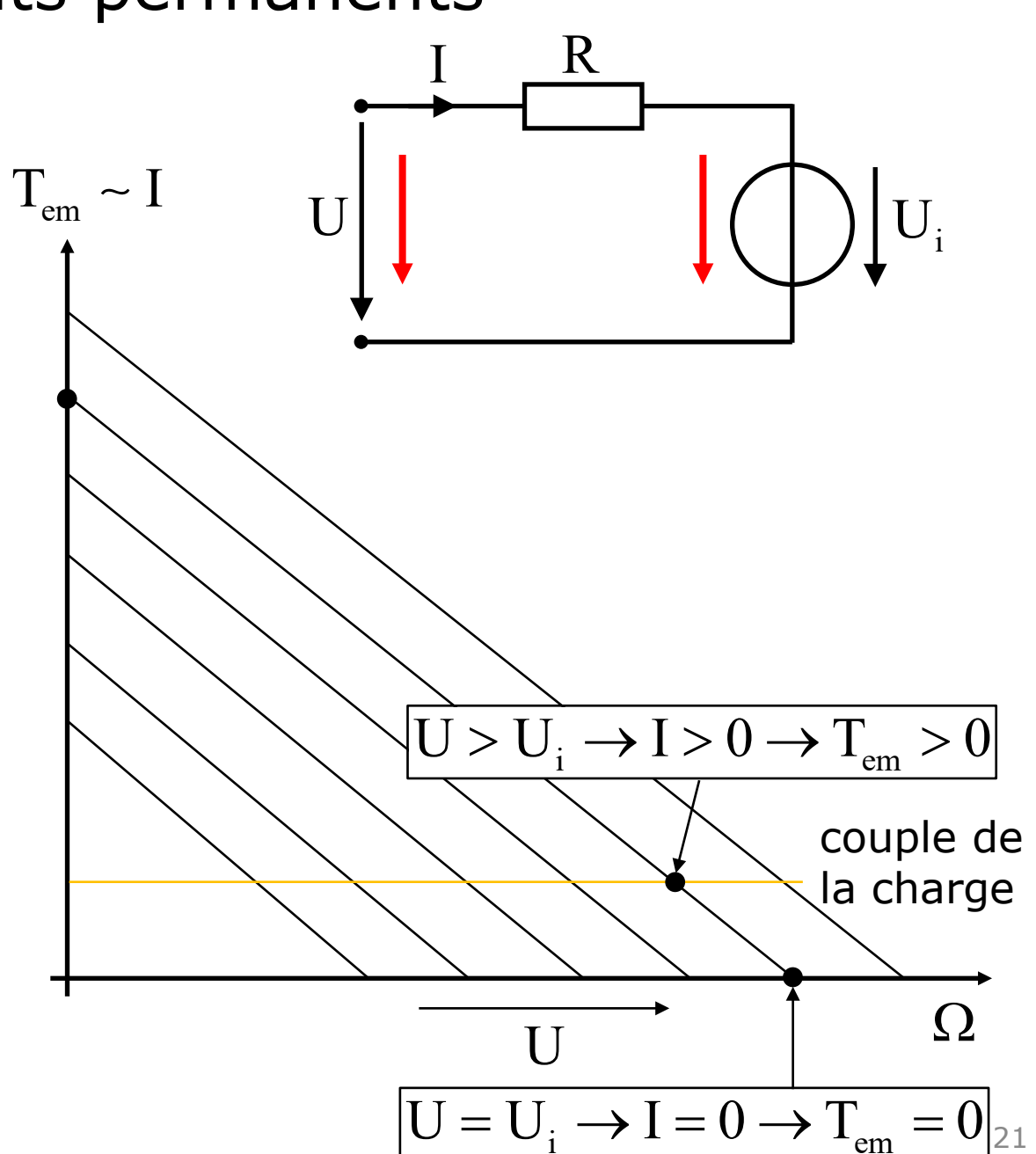
$$U_i = k_{\Phi} \Omega$$

$$T_{em} = k_{\Phi} I$$

$$U = R I + k_{\Phi} \Omega$$

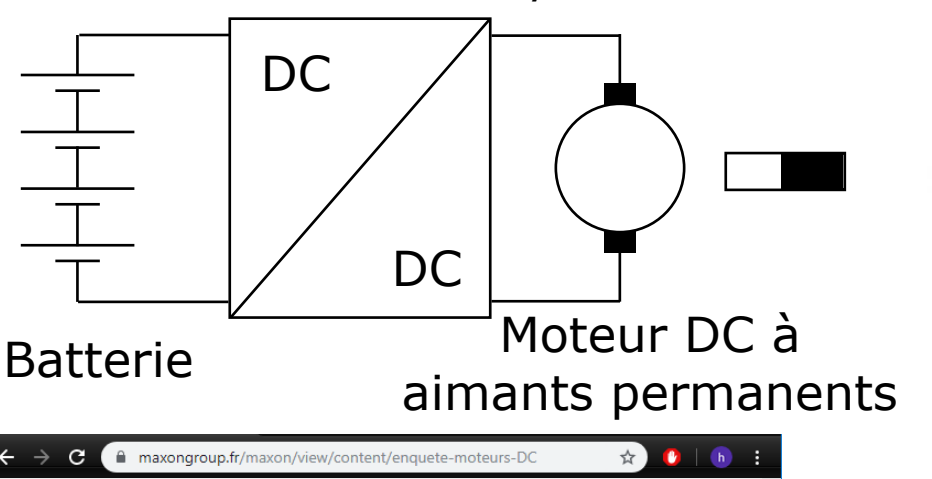
$$I = \frac{U - k_{\Phi} \Omega}{R} = \frac{T_{em}}{k_{\Phi}}$$

$$T_{em} = k_{\Phi} \frac{U - k_{\Phi} \Omega}{R}$$



Alimentation à tension variable

Convertisseur DC/DC





permanents puissants. Le «cœur» du moteur est constitué par son rotor sans fer, qui fait l'objet d'un brevet international. Il s'agit d'une technologie de pointe au service d'entraînements de dimension réduite, aux performances élevées et de faible inertie. Grâce à un moment d'inertie de masse réduit, les moteurs DC disposent d'une excellente accélération. Les gammes modulaires A-max et RE-max présentent d'innombrables options et des performances exceptionnelles à un prix attractif.



Gamme DCX

Configurez les tailles d'un \varnothing de 6 à 35 mm. Choisissez entre balais graphite ou métal précieux, roulements à billes ou paliers lisses frittés et bien plus encore.

Pour les détails et les spécifications du produit:

Online Shop

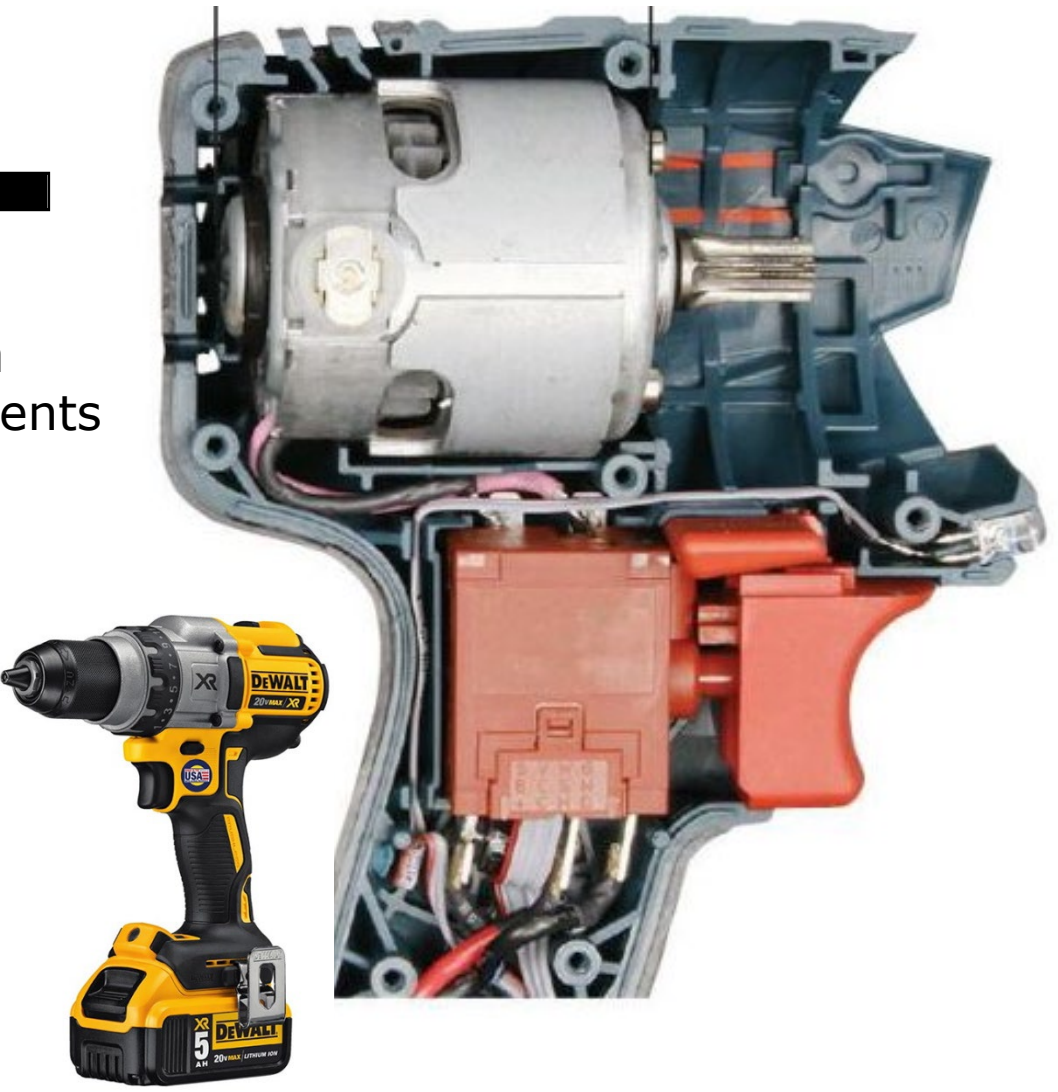


Gamma DC-max

Configurez les modèles de Ø 16 et 22 mm. Choisissez des balais en métal précieux ou en graphite, des roulements à billes ou des paliers frittés et bien d'autres composants.

Pour les détails et les spécifications du produit:

Online Shop



Source: toolguyd.com/dewalt-brushless-impact-driver-dcf886/ et toolguyd.com/dewalt-cordless-drills-uwo-torque/ www.toolsofthetrade.net/power-tools/cordless-tools/brushing-up-on-brushless o

- Principe de fonctionnement
- Equation de tension, tension induite de mouvement et schéma équivalent
- Bilan de puissance et couple électromagnétique
- Moteur à courant continu à aimants permanents
- Démarrage

Exemple pour le moteur à aimants permanents

$$U = R I + U_{i}$$

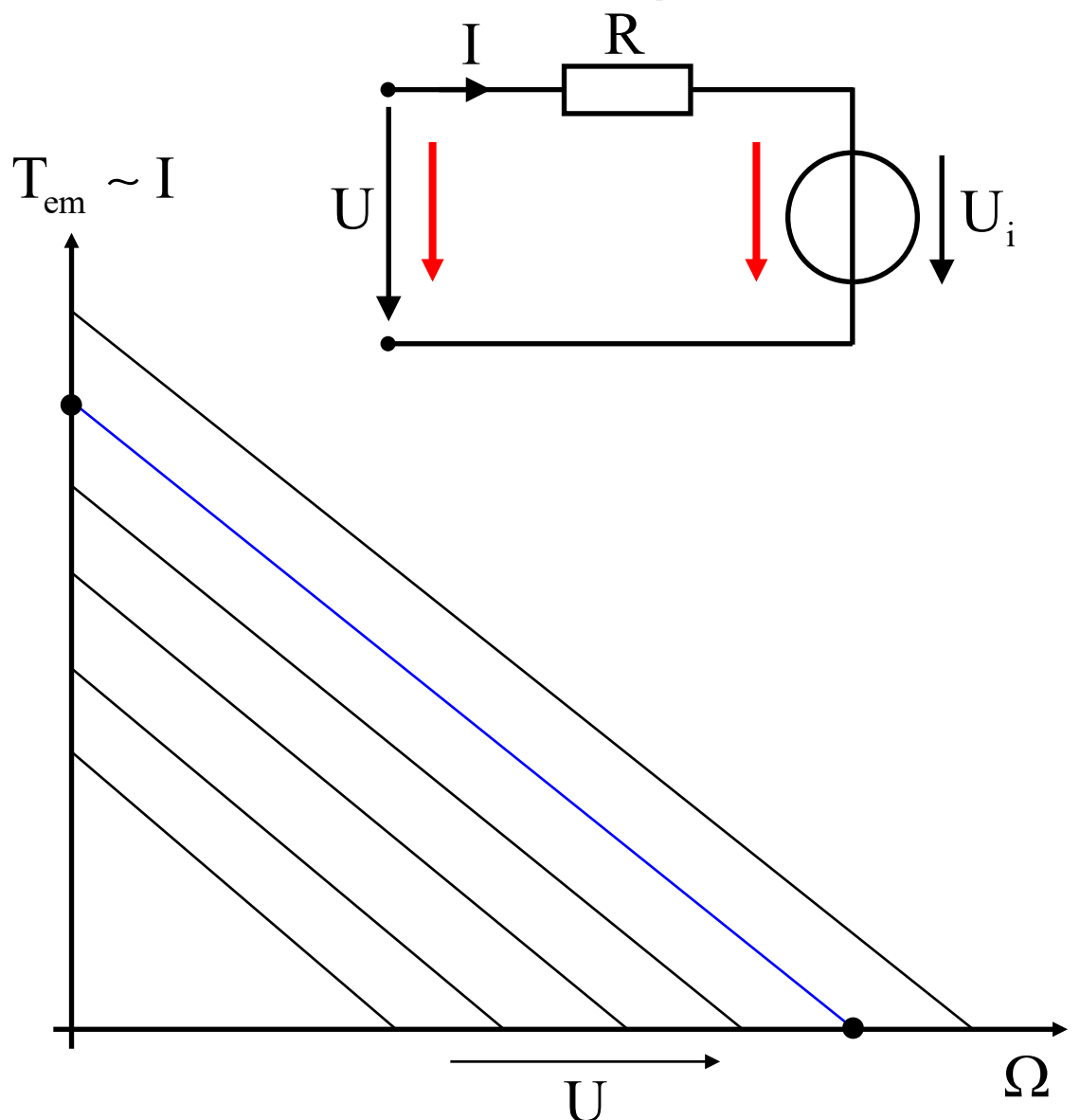
$$U_i = k_{\Phi} \Omega$$

$$T_{em} = k_{\Phi} I$$

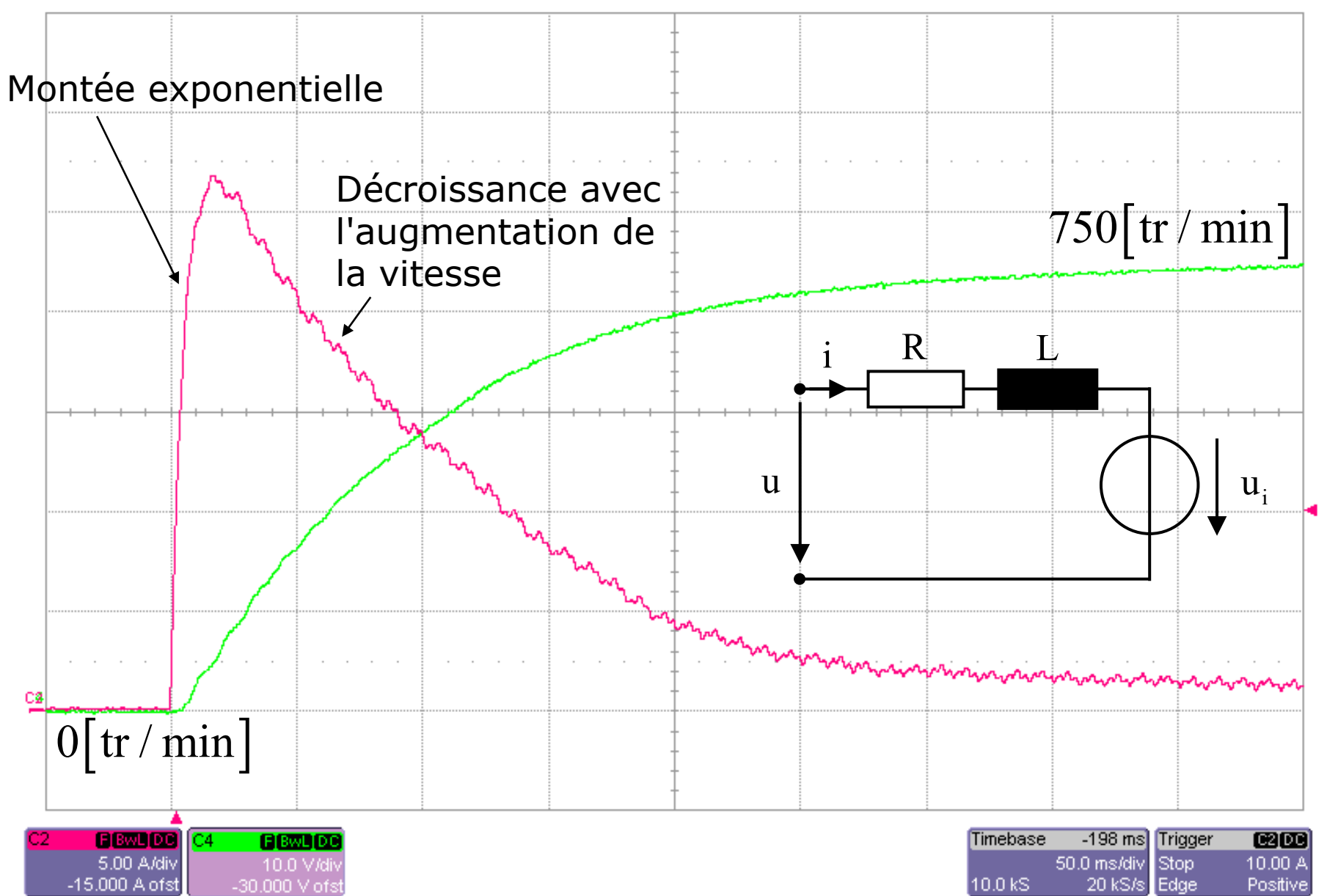
$$U = R I + k_{\Phi} \Omega$$

$$I = \frac{U - k_{\Phi}\Omega}{R} = \frac{T_{em}}{k_{\Phi}}$$

$$T_{em} = k_{\Phi} \frac{U - k_{\Phi} \Omega}{R}$$



Démarrage d'un moteur à courant continu Démarrage (750 tr/min à vide)



DETAILS

RE 65 Ø65 mm, Graphite Brushes, 250 Watt

Part number 353294



VALUES AT NOMINAL VOLTAGE

Nominal voltage	18 V
No load speed	3520 rpm
No load current	755 mA
Nominal speed	3250 rpm
Nominal torque (max. continuous torque)	427 mNm
Nominal current (max. continuous current)	10 A
Stall torque	13600 mNm
Stall current	295 A
Max. efficiency	81 %

CHARACTERISTICS

Terminal resistance	0.0609 Ω
Terminal inductance	0.0226 mH
Torque constant	46 mNm/A
Speed constant	208 rpm/V
Speed / torque gradient	0.275 rpm/mNm
Mechanical time constant	3.98 ms
Rotor inertia	1380 gcm²
	26